



**Sismo del 08 de febrero de 2026
Puerto Escondido, Oaxaca, México (M5.7)
15:42:11 Hora Local**

**REPORTE PRELIMINAR
Parámetros del Movimiento del Terreno**

**Elaboró:
Unidad de Instrumentación Sísmica
Coordinación de Ingeniería Sismológica**

Ciudad de México
Febrero, 2026

www.iingen.unam.mx
www.uis.unam.mx

Versión Es1.0 08-02-2026

**El sismo está reportado en fecha y hora del Centro de México*

Información Básica

El 08 de febrero de 2026 se registró un sismo de magnitud M5.7 ubicado a 14 km al NORESTE de Puerto Escondido, Oaxaca (Servicio Sismológico Nacional, 2026). El tiempo de origen del sismo fue a las 15:42:11 hora del centro de México (08 de febrero de 2026, 21:42:11 UTC). Su hipocentro se localizó a 17 km de profundidad, en la latitud 15.9°N y longitud 96.94°O (ver figura 1).

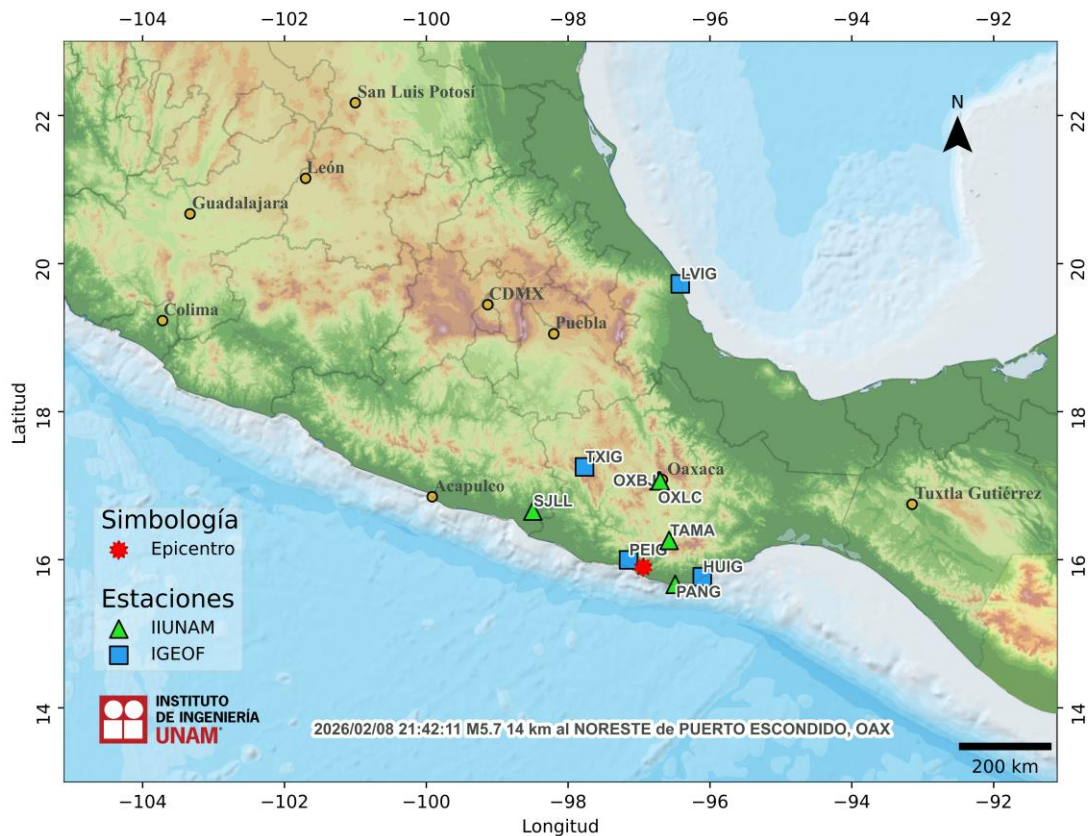


Figura 1. Epicentro del sismo del 08 de febrero de 2026 (M5.7) y estaciones sísmicas empleadas en la elaboración del mapa preliminar de PGA. Las estaciones pertenecientes a la Red Acelerográfica del Instituto de Ingeniería de la UNAM (IIUNAM) son operadas por la Unidad de Instrumentación Sísmica. Las estaciones IGEOF mostradas son operadas por el Servicio Sismológico Nacional.

Parámetros de Intensidad del Movimiento del Terreno

La tabla 1 presenta la localización geográfica de las estaciones de la Red Acelerográfica del Instituto de Ingeniería de la UNAM (RAII-UNAM) y la aceleración máxima del terreno (PGA) que se registró. Las señales, recibidas en tiempo real, provienen de estaciones ubicadas a una distancia epicentral que oscilan entre 55 y 670 km. La PGA máxima registrada en la Red Permanente de monitoreo del IINGEN, fue 22.31 cm/s^2 en la estación TAMAZULAPAN (TAMA), ubicada a una distancia epicentral de 55.90 km. Los acelerogramas fueron corregidos por línea base y filtrados entre 0.1 y 20 Hz.

Tabla 1. Localización de las estaciones del IINGEN y valores máximos registrados

Clave	Estado	Localización		Distancia Epicentral (km)	PGA (cm/s^2)
		Latitud N (°)	Longitud O (°)		
PANG	OAX	15.666837	96.490506	54.60	7.62
TAMA	OAX	16.261160	96.575290	55.90	22.31
OXBJ	OAX	17.067337	96.723804	131.20	10.83
OXLC	OAX	17.065039	96.703157	131.40	8.87
SJLL	GRO	16.657822	98.498463	186.50	5.27
VIGA	GRO	16.758703	99.233268	262.80	0.63
CHPA	CHP	16.247374	93.912575	326.20	0.35
VNTA	GRO	16.914260	99.818850	327.30	0.18
OZST	VER	18.860758	97.094119	328.10	2.93
OCLL	GRO	17.036585	99.878515	338.10	0.21
COYC	GRO	16.997788	100.089963	357.70	0.18
LMPP	PUE	19.001470	98.182270	367.70	0.25
PHPU	PUE	19.044223	98.168466	371.60	1.08
SXPU	PUE	19.039943	98.215087	373.00	1.69
TEAC	GRO	18.617630	99.454086	402.40	0.36
SUCH	GRO	17.226169	100.638345	421.10	0.09
CMSG	CMX	19.255509	99.048218	433.60	0.66
CMP1	CMX	19.272467	99.120834	439.20	2.35
CMEN	CMX	19.295514	99.102591	440.40	2.94
CMJR	CMX	19.319067	99.062632	440.40	0.49
CMRM	CMX	19.347694	99.051460	442.50	1.91
CMMG	CMX	19.332018	99.115699	444.50	1.63
CMFZ	CMX	19.384119	99.036316	445.20	1.96

CMEA	CMX	19.359965	99.095990	446.10	1.53
CM55	CMX	19.385019	99.064004	446.70	0.75
CMRC	CMX	19.355282	99.121243	447.00	1.57
CMCU	CMX	19.330278	99.181023	448.00	0.36
CMRA	CMX	19.382406	99.119846	449.50	1.50
SCT2	CMX	19.394694	99.148678	452.20	1.26
CMPM	CMX	19.373000	99.191730	452.60	1.79
CMP7	CMX	19.419333	99.125786	453.30	0.97
CMJC	CMX	19.452758	99.101430	455.20	1.13
CTCL	CMX	19.434521	99.133503	455.20	0.66
CMPI	MEX	19.485580	99.048683	455.60	1.30
TACY	CMX	19.404505	99.195246	455.80	0.45
CMCT	CMX	19.450048	99.137962	456.90	1.19
CMP3	CMX	19.483149	99.093941	457.70	0.78
SCCB	CHP	16.708580	92.625515	469.70	0.26
TEJU	MEX	18.904051	100.159615	477.00	0.22
PET2	GRO	17.535396	101.262608	495.20	0.09
TAJN	CHP	14.922677	92.270957	512.70	0.17
ACAM	GUA	20.043186	100.716777	608.50	0.11
CALE	MIC	18.072870	102.754441	664.30	0.03
URUA	MIC	19.421758	102.074059	669.80	0.11

El mapa preliminar de PGA a nivel nacional se obtuvo empleando el programa GenMaps y los datos registrados por la RAII-UNAM en tiempo real. La estimación de los parámetros del movimiento del terreno en sitios donde no se cuenta con una estación de registro sísmico se hizo a través del modelo de atenuación de Arroyo et al. (2010). El método de interpolación utilizado para generar el mapa fue el propuesto por Kitanidis (1986). La figura 2 muestra el mapa preliminar de la media cuadrática de las componentes horizontales de aceleración máxima del terreno (PGA_{rmsh}).

En la Ciudad de México, la aceleración máxima del terreno registrada en la estación de Ciudad Universitaria fue de 0.31 cm/s^2 , cuyo registro fue utilizado para el cálculo de los valores de aceleración y respuesta espectral en la capital del país empleando el programa MapasTRNet. La figura 3 ilustra la distribución de la aceleración pico.

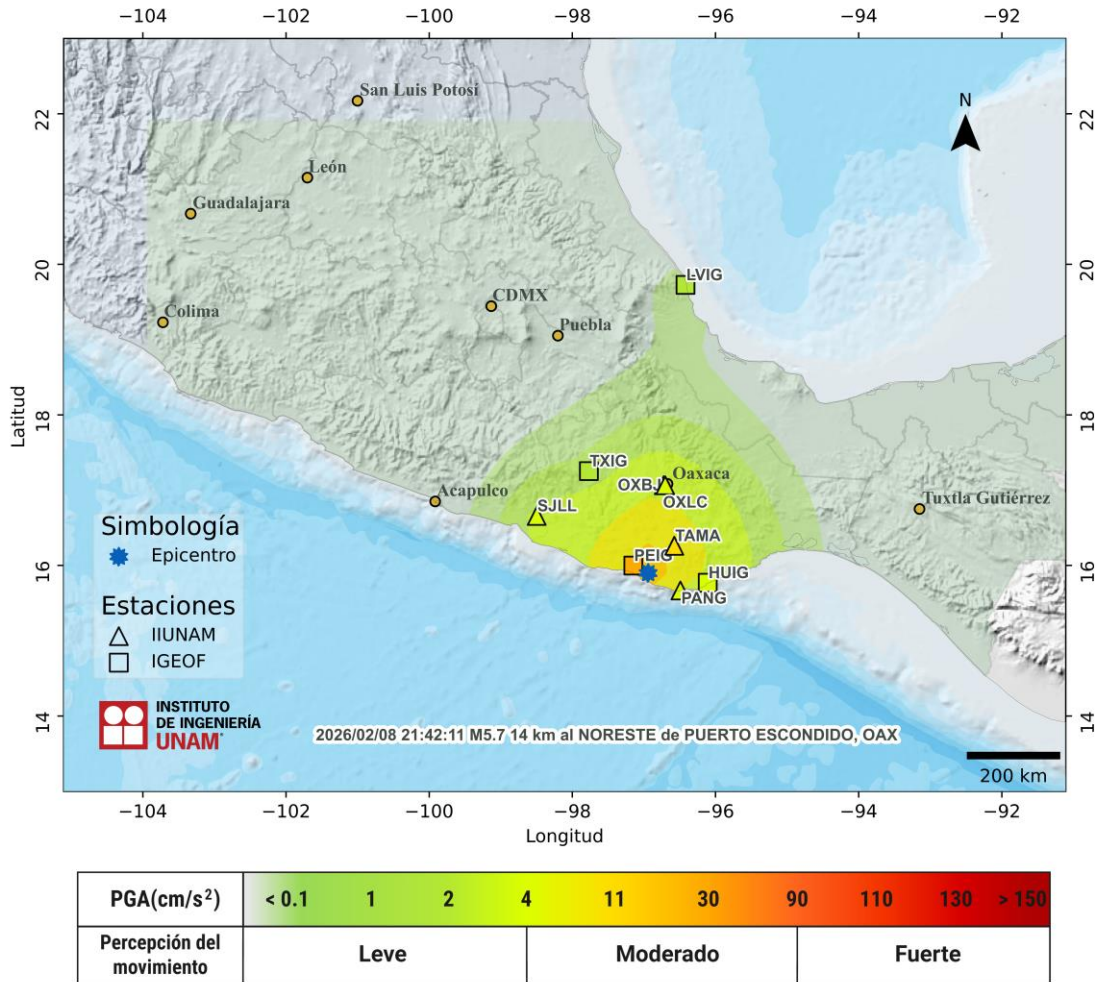


Figura 2. Mapa de intensidad de la Aceleración Máxima del Terreno (PGA_{msh})

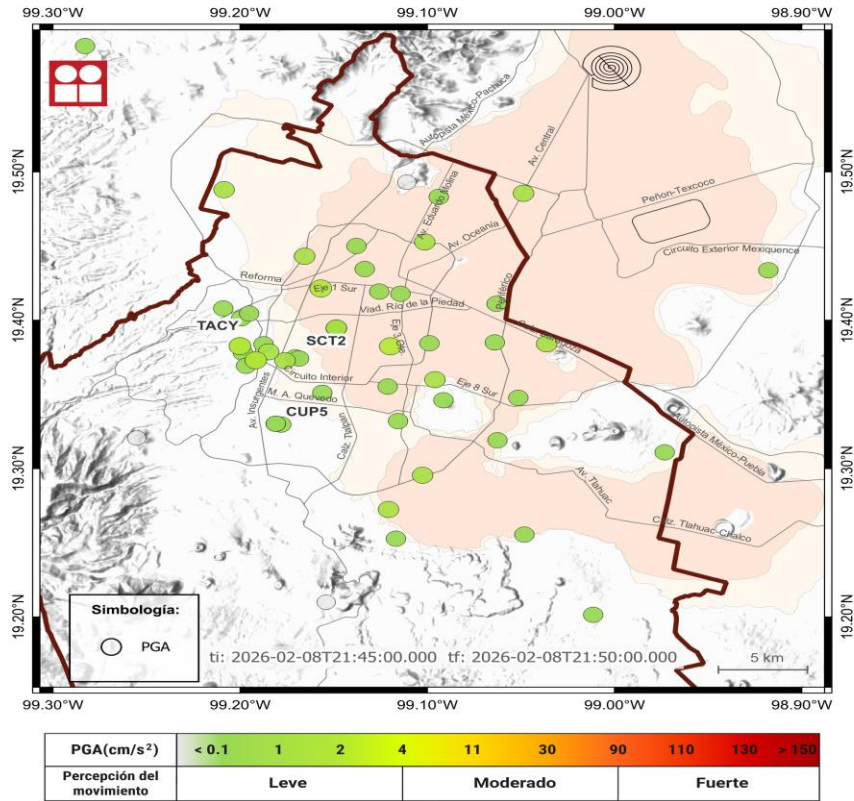


Figura 3. Mapa preliminar de Aceleración Máxima del Terreno (PGA_{rmsh}) en la Ciudad de México.

Acelerogramas y Espectros de Respuesta

Las figuras 4a a 4h muestran los acelerogramas registrados en las estaciones operadas por el IINGEN y sus espectros de respuesta de aceleración (SA) con amortiguamiento del 5% del crítico, obtenidos para las tres componentes ortogonales del movimiento del suelo. La tabla 2 muestra los valores máximos de aceleración para cada estación y canal. Se incluyen los valores de aceleración espectral para los periodos $T = 0.1, 0.3, 0.5, 1.0, 1.5, 2.0$ y 3.0 s, indicando el valor máximo de SA y el periodo al cual está asociado.

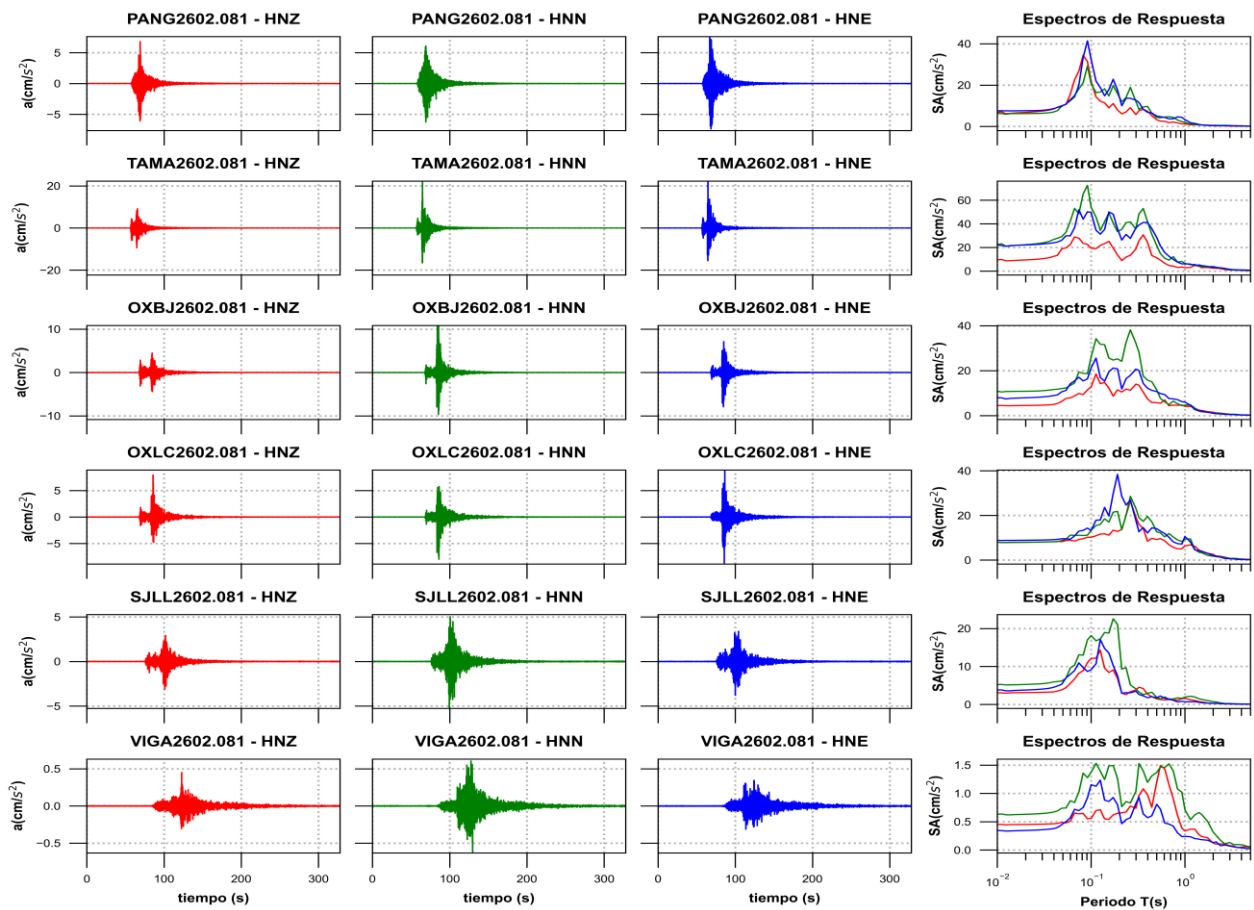


Figura 4a. Acelerogramas registrados y espectros de respuesta estimados para los registros obtenidos durante el sismo del 08 de febrero de 2026 (M5.7)

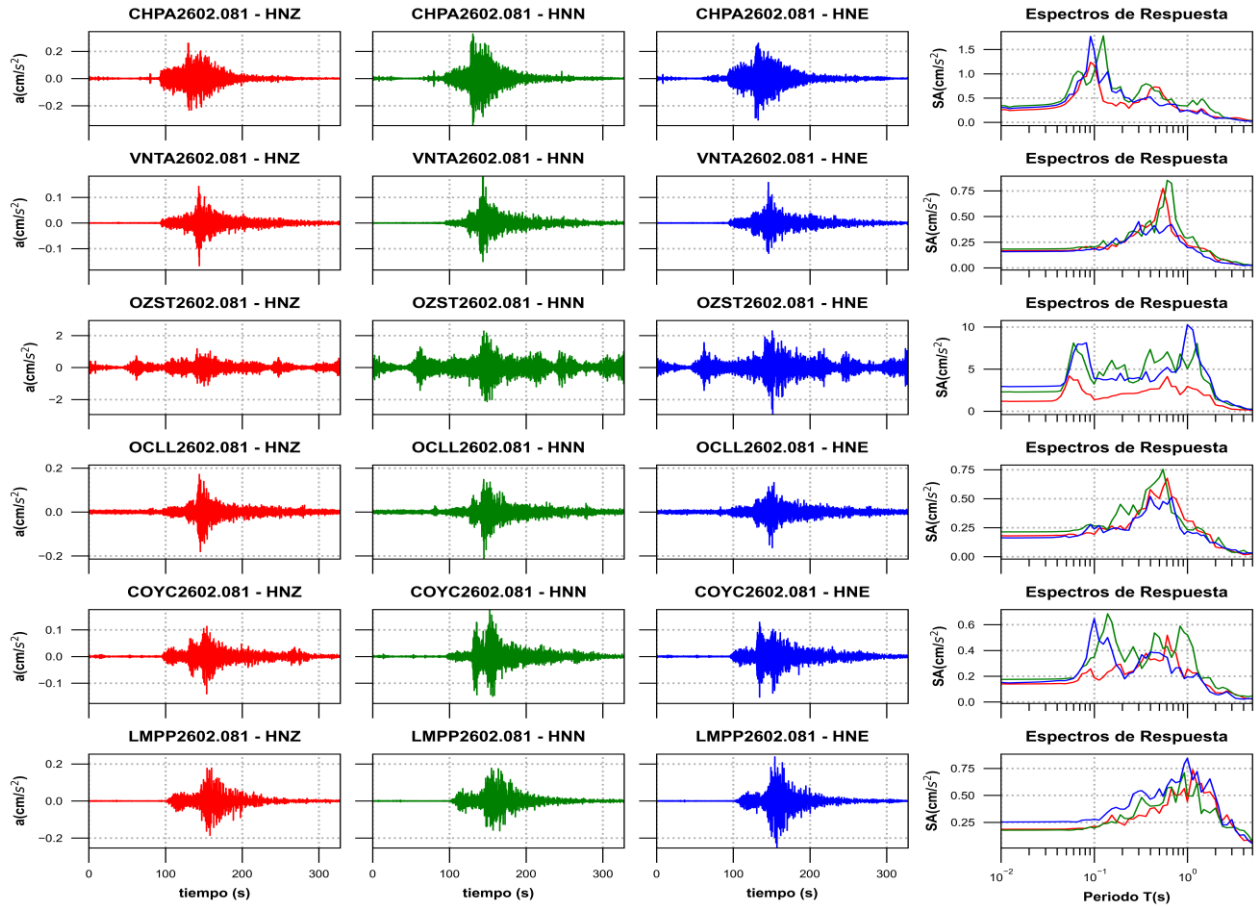


Figura 4b. Acelerogramas registrados y espectros de respuesta estimados para los registros obtenidos durante el sismo del 08 de febrero de 2026 (M5.7)

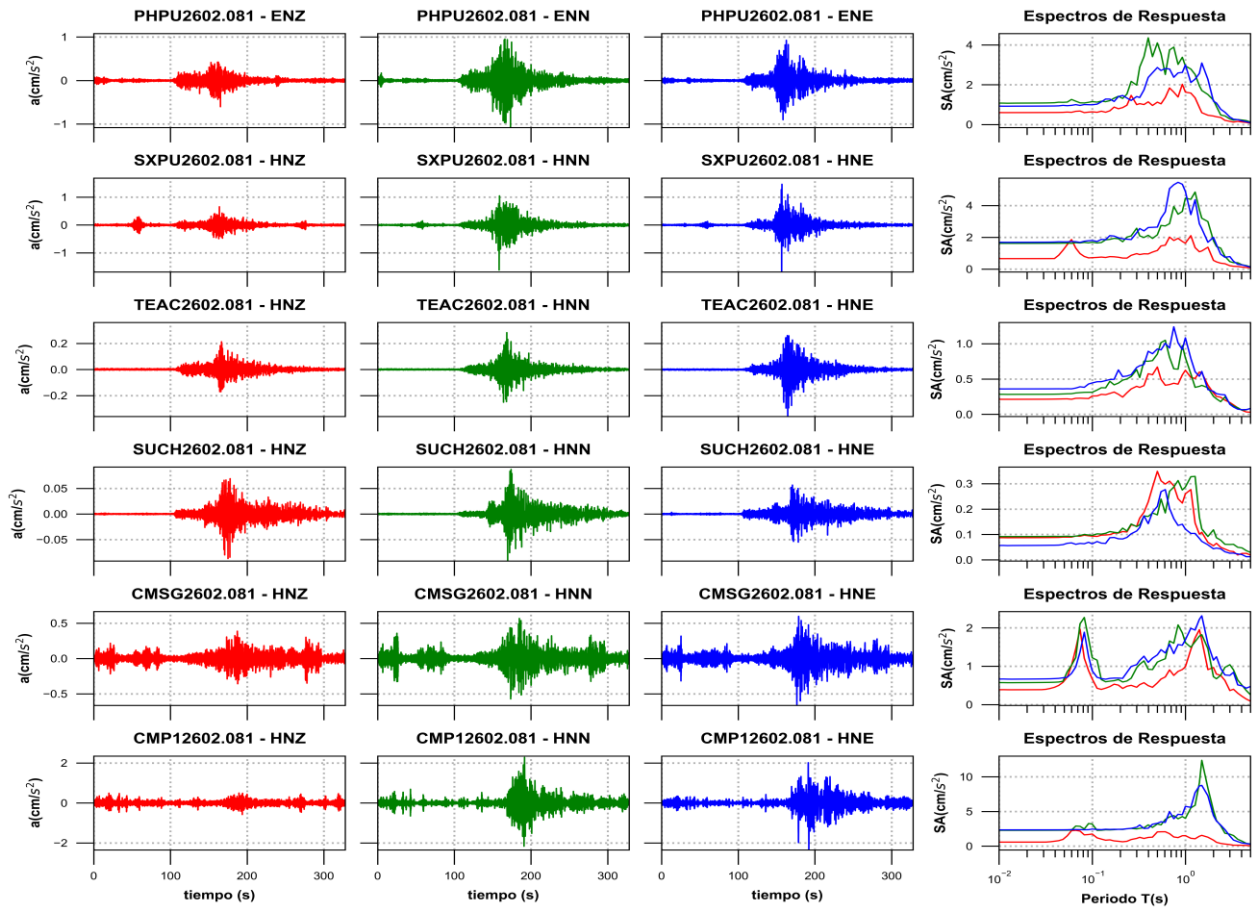


Figura 4c. Acelerogramas registrados y espectros de respuesta estimados para los registros obtenidos durante el sismo del 08 de febrero de 2026 (M5.7)

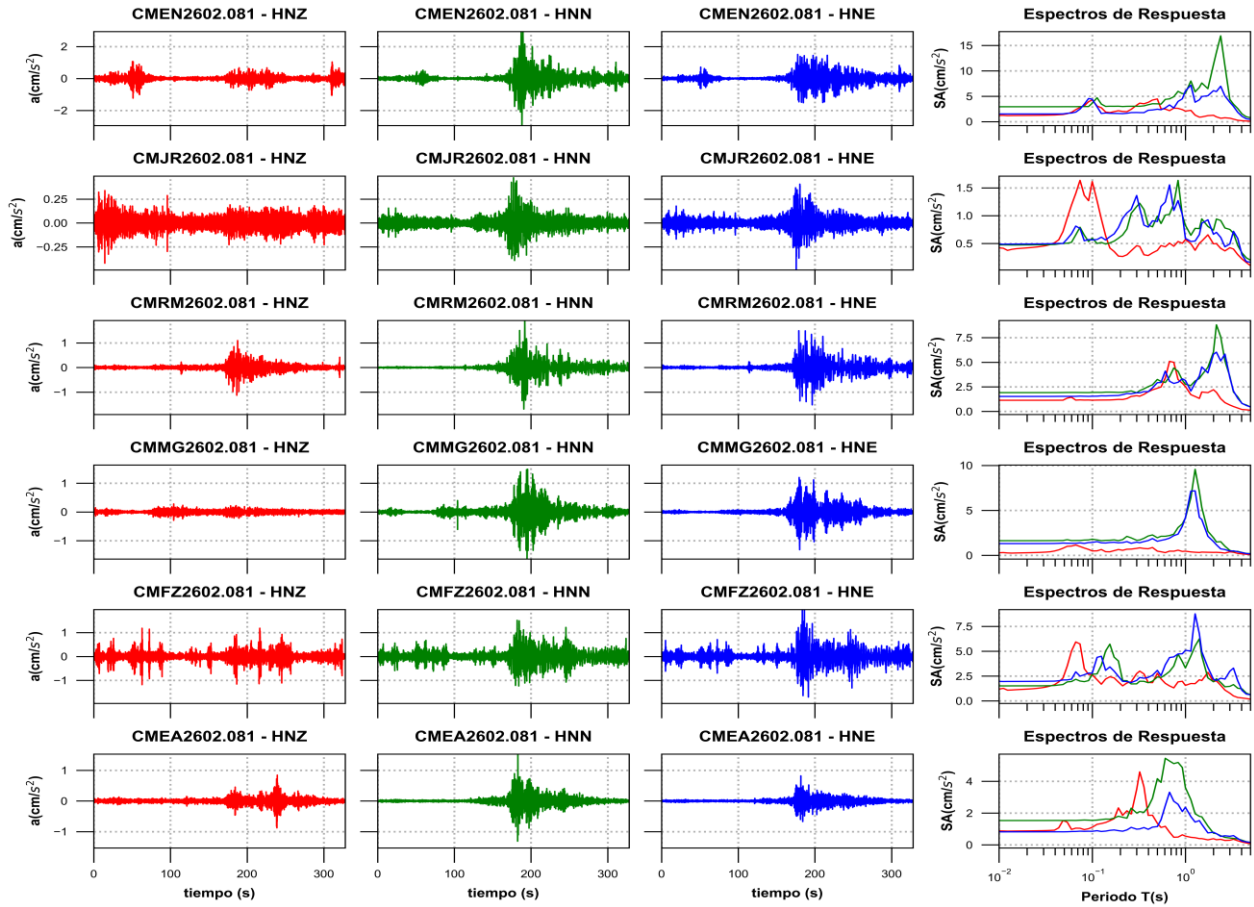


Figura 4d. Acelerogramas registrados y espectros de respuesta estimados para los registros obtenidos durante el sismo del 08 de febrero de 2026 (M5.7)

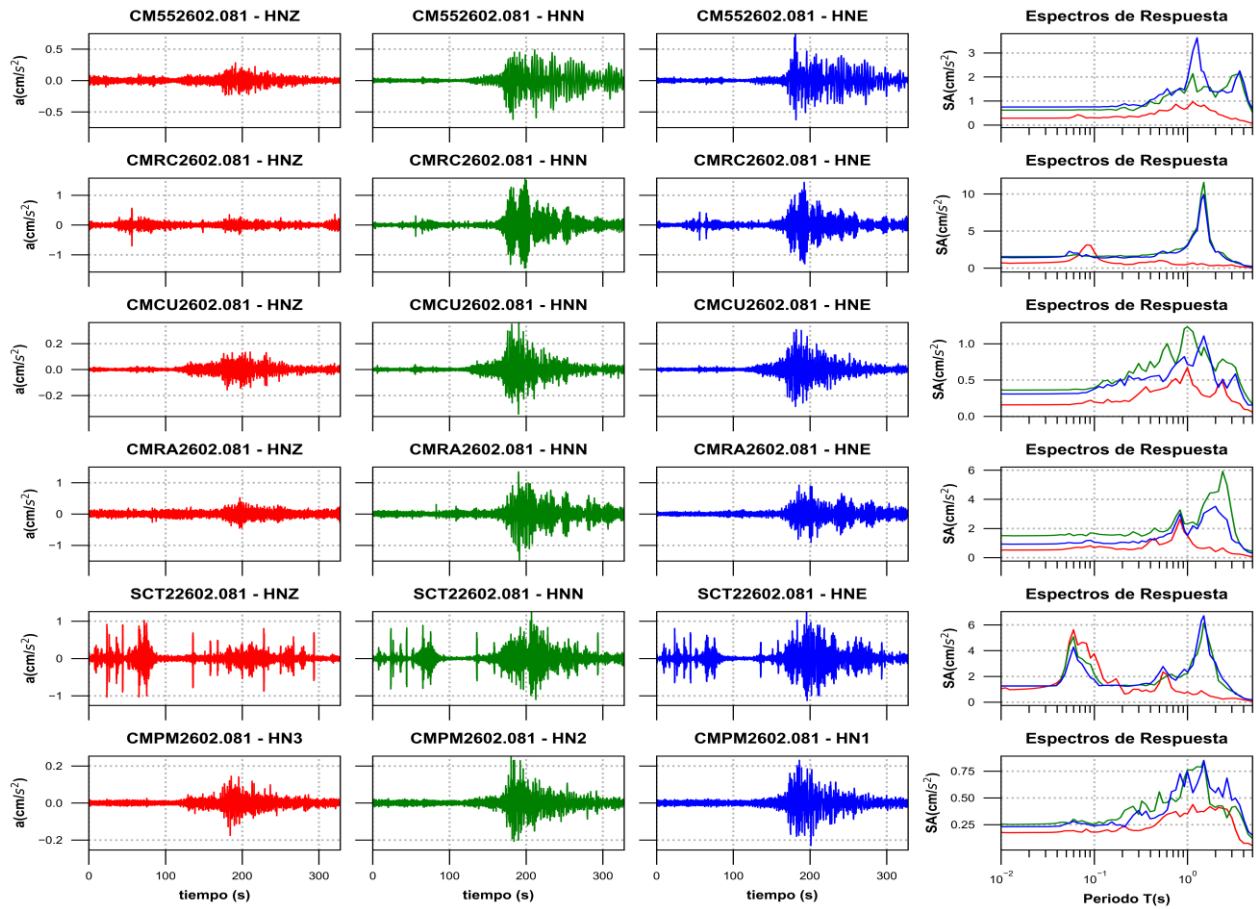


Figura 4e. Acelerogramas registrados y espectros de respuesta estimados para los registros obtenidos durante el sismo del 08 de febrero de 2026 (M5.7)

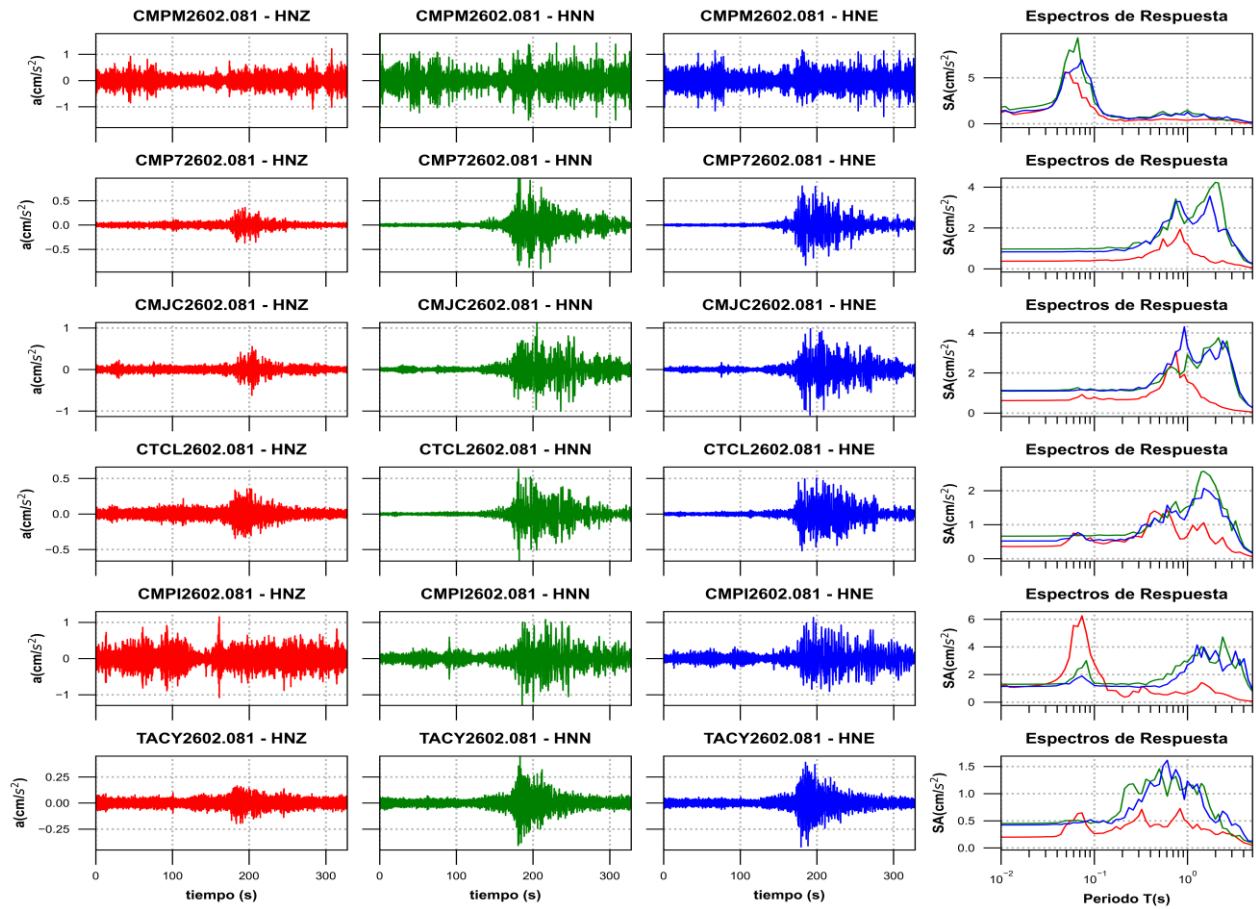


Figura 4f. Acelerogramas registrados y espectros de respuesta estimados para los registros obtenidos durante el sismo del 08 de febrero de 2026 (M5.7)

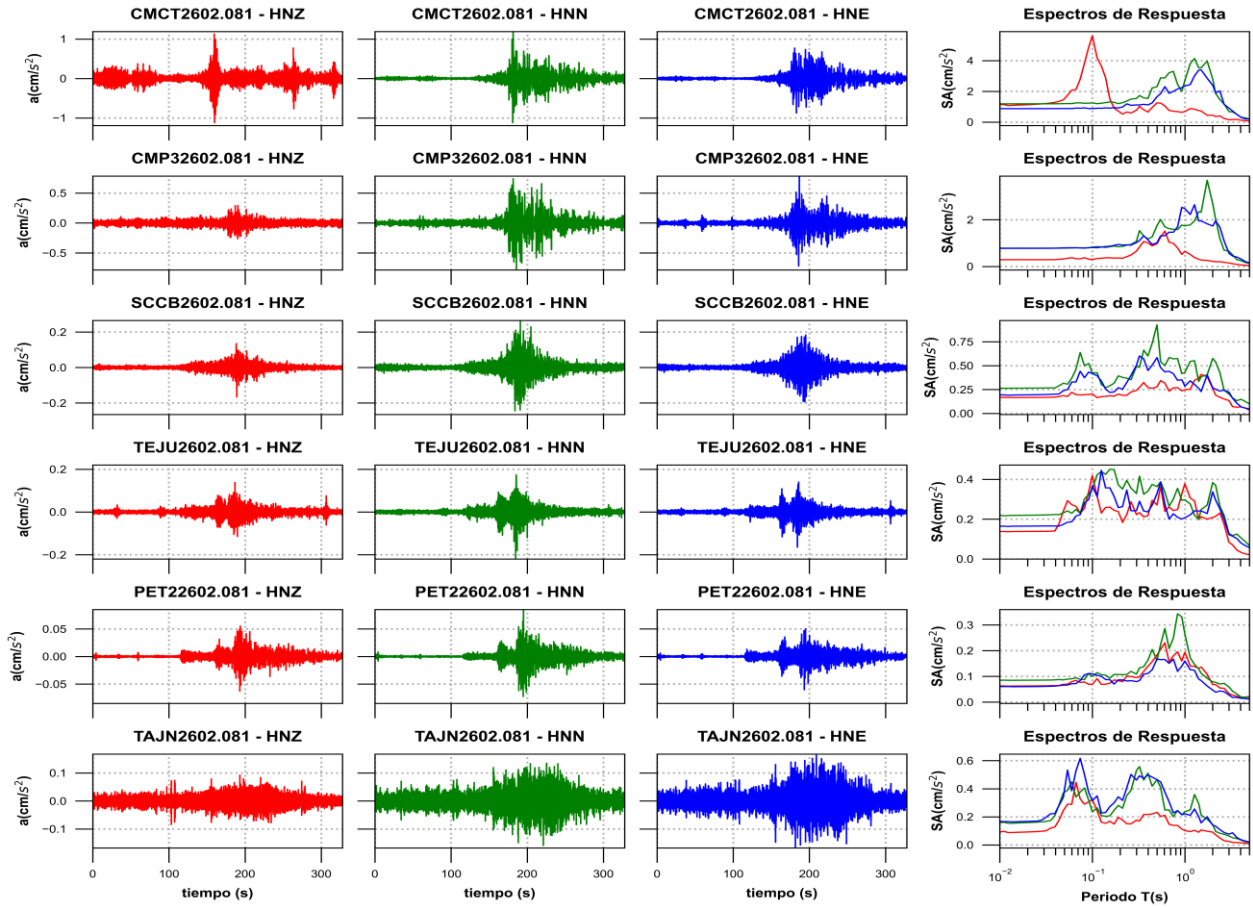


Figura 4g. Acelerogramas registrados y espectros de respuesta estimados para los registros obtenidos durante el sismo del 08 de febrero de 2026 (M5.7)

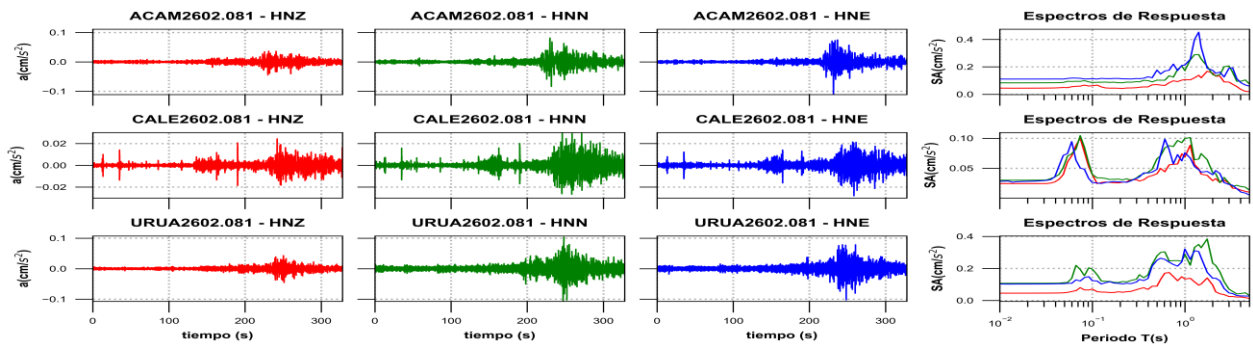


Figura 4h. Acelerogramas registrados y espectros de respuesta estimados para los registros obtenidos durante el sismo del 08 de febrero de 2026 (M5.7)

Tabla 2. Valores máximos de aceleración obtenidos para cada estación. Se incluyen los valores de aceleración espectral (SA) para los periodos T= 0.1, 0.3, 0.5, 1.0, 1.5, 2.0 y 3.0 s. Se indica el máximo valor de SA y el periodo asociado

Estación	Canal	PGA	Aceleración Espectral (SA)	TAmáx (s)	SAmáx (cm/s²)
----------	-------	-----	----------------------------	-----------	---------------

		(cm/s ²)									
			T=0.1s	T=0.3s	T=0.5s	T=1s	T=1.5s	T=2s	T=3s		
PANG	HNZ	6.81	21.70	5.75	3.23	1.34	0.78	0.37	0.21	0.08	34.46
PANG	HNN	6.25	20.67	12.07	4.30	1.98	0.70	0.53	0.46	0.09	29.21
PANG	HNE	7.62	32.40	12.70	5.06	3.34	0.79	0.46	0.39	0.09	41.41
TAMA	HNZ	9.41	19.34	18.70	11.17	2.88	2.88	2.45	0.94	0.36	30.67
TAMA	HNN	22.31	53.92	35.69	21.64	6.53	3.56	3.87	1.17	0.09	72.58
TAMA	HNE	22.09	49.48	36.50	28.43	6.14	4.67	3.27	1.50	0.07	51.91
OXBJ	HNZ	4.49	12.81	14.01	5.77	4.09	2.30	1.50	0.65	0.11	18.52
OXBJ	HNN	10.83	26.06	32.21	11.47	4.67	1.70	1.08	0.55	0.26	38.17
OXBJ	HNE	7.92	21.28	20.73	10.67	6.00	1.99	1.03	0.49	0.11	25.61
OXLC	HNZ	7.93	10.19	19.16	9.23	6.37	4.03	2.54	0.83	0.26	26.55
OXLC	HNN	7.99	13.40	23.18	12.66	9.40	3.28	1.74	0.68	0.26	28.57
OXLC	HNE	8.87	13.25	17.75	14.07	10.55	3.85	2.05	0.59	0.19	38.42
SJLL	HNZ	3.12	12.16	3.81	1.46	1.60	0.65	0.28	0.13	0.13	14.28
SJLL	HNN	5.27	18.15	4.10	1.89	1.94	1.32	0.73	0.23	0.17	22.57
SJLL	HNE	3.80	9.13	3.49	1.77	0.69	0.45	0.27	0.14	0.13	17.09
VIGA	HNZ	0.45	0.56	0.74	1.20	0.34	0.24	0.12	0.08	0.55	1.49
VIGA	HNN	0.63	1.37	1.03	1.37	0.71	0.63	0.32	0.13	0.11	1.53
VIGA	HNE	0.35	1.15	0.82	0.81	0.24	0.18	0.13	0.07	0.13	1.23
CHPA	HNZ	0.26	1.18	0.41	0.72	0.25	0.25	0.11	0.09	0.09	1.24
CHPA	HNN	0.35	1.03	0.61	0.64	0.34	0.45	0.20	0.07	0.13	1.78
CHPA	HNE	0.31	1.48	0.46	0.34	0.25	0.19	0.08	0.07	0.09	1.77
VNTA	HNZ	0.17	0.18	0.36	0.65	0.22	0.19	0.09	0.05	0.55	0.77
VNTA	HNN	0.18	0.20	0.34	0.57	0.29	0.16	0.11	0.06	0.61	0.85
VNTA	HNE	0.16	0.19	0.45	0.34	0.20	0.11	0.06	0.04	0.30	0.45
OZST	HNZ	1.17	1.38	2.17	2.68	2.94	1.89	0.76	0.23	0.05	4.19
OZST	HNN	2.28	3.22	3.64	6.04	5.02	3.79	1.45	0.66	0.06	8.10
OZST	HNE	2.93	3.87	3.99	4.37	10.25	5.16	1.85	0.86	1.00	10.25
OCLL	HNZ	0.18	0.19	0.40	0.50	0.31	0.21	0.08	0.05	0.61	0.68
OCLL	HNN	0.21	0.26	0.36	0.68	0.23	0.22	0.13	0.04	0.55	0.75
OCLL	HNE	0.16	0.24	0.34	0.41	0.22	0.19	0.12	0.06	0.40	0.52
COYC	HNZ	0.14	0.19	0.28	0.32	0.26	0.14	0.07	0.07	0.61	0.52
COYC	HNN	0.18	0.35	0.33	0.50	0.52	0.19	0.11	0.07	0.14	0.68
COYC	HNE	0.15	0.65	0.31	0.38	0.19	0.15	0.06	0.05	0.10	0.65
LMPP	HNZ	0.19	0.21	0.32	0.33	0.44	0.52	0.46	0.23	1.14	0.74
LMPP	HNN	0.18	0.20	0.42	0.41	0.50	0.37	0.38	0.20	0.93	0.71
LMPP	HNE	0.25	0.28	0.54	0.56	0.84	0.55	0.49	0.28	1.00	0.84
PHPU	ENZ	0.60	0.64	1.00	1.13	1.63	0.60	0.43	0.16	0.93	2.02
PHPU	ENN	1.08	1.15	1.98	4.10	2.94	1.71	1.23	0.28	0.40	4.36
PHPU	ENE	0.93	0.99	1.41	2.86	2.99	3.09	1.18	0.38	1.50	3.09
SXPU	HNZ	0.66	0.72	0.97	1.17	1.63	1.14	0.55	0.21	1.14	2.11
SXPU	HNN	1.62	1.69	2.57	2.16	4.46	3.20	1.79	0.47	1.27	4.85
SXPU	HNE	1.69	1.80	2.29	2.64	4.89	2.55	2.00	0.79	0.83	5.46
TEAC	HNZ	0.21	0.26	0.40	0.67	0.62	0.59	0.30	0.17	0.50	0.67
TEAC	HNN	0.28	0.31	0.63	0.85	0.80	0.41	0.25	0.15	0.61	1.05

TEAC	HNE	0.36	0.44	0.66	0.93	1.08	0.61	0.33	0.14	0.75	1.24
SUCH	HNZ	0.09	0.09	0.13	0.35	0.26	0.11	0.06	0.03	0.50	0.35
SUCH	HNN	0.09	0.10	0.13	0.18	0.29	0.12	0.12	0.06	1.27	0.33
SUCH	HNE	0.06	0.06	0.11	0.21	0.12	0.07	0.04	0.03	0.61	0.28
CMSG	HNZ	0.39	0.67	0.45	0.57	0.98	1.68	0.97	0.37	0.07	1.97
CMSG	HNN	0.57	1.22	0.96	1.11	1.61	1.82	0.73	1.04	0.08	2.27
CMSG	HNE	0.66	0.88	1.04	1.30	1.69	2.31	1.16	0.76	1.50	2.31
CMP1	HNZ	0.58	1.75	1.12	2.05	1.51	1.55	0.87	0.23	0.07	2.28
CMP1	HNN	2.28	3.18	2.49	3.20	4.01	12.38	5.15	1.72	1.50	12.38
CMP1	HNE	2.35	2.46	2.73	3.29	5.73	8.76	4.40	1.47	1.50	8.76
CMEN	HNZ	1.23	4.29	3.25	4.48	2.09	0.94	1.26	0.69	0.50	4.48
CMEN	HNN	2.94	3.63	3.04	3.52	5.60	7.62	11.21	4.38	2.39	16.91
CMEN	HNE	1.52	4.42	1.81	2.46	6.03	4.95	6.11	3.83	1.14	7.19
CMJR	HNZ	0.42	1.61	0.46	0.38	0.57	0.54	0.49	0.42	0.07	1.64
CMJR	HNN	0.47	0.60	1.16	0.99	0.83	0.94	0.74	0.75	0.83	1.64
CMJR	HNE	0.49	0.56	1.36	0.90	0.59	0.86	0.67	0.49	0.68	1.55
CMRM	HNZ	1.13	1.14	1.60	2.36	2.53	1.97	2.20	0.65	0.68	5.10
CMRM	HNN	1.91	1.93	1.89	3.25	2.76	3.70	6.04	3.56	2.15	8.81
CMRM	HNE	1.52	1.54	1.90	2.92	3.15	4.52	5.81	3.44	2.15	6.02
CMMG	HNZ	0.29	0.49	0.78	0.47	0.46	0.36	0.33	0.39	0.07	1.15
CMMG	HNN	1.63	1.80	1.68	1.96	4.16	5.32	1.97	0.55	1.27	9.57
CMMG	HNE	1.31	1.44	1.47	1.57	4.19	3.98	1.54	0.48	1.27	7.18
CMFZ	HNZ	1.19	2.64	2.75	2.78	1.56	2.05	1.94	0.78	0.07	5.94
CMFZ	HNN	1.52	2.68	1.72	2.41	3.32	4.53	1.93	1.47	1.41	6.25
CMFZ	HNE	1.96	2.79	2.06	3.07	5.09	4.95	2.18	2.99	1.27	8.77
CMEA	HNZ	0.88	1.11	3.50	1.36	0.55	0.40	0.39	0.29	0.32	4.59
CMEA	HNN	1.53	1.54	2.01	4.17	3.61	1.77	0.74	0.43	0.61	5.45
CMEA	HNE	0.82	0.85	0.99	1.15	2.37	1.30	0.80	0.54	0.68	3.31
CM55	HNZ	0.28	0.30	0.33	0.61	0.72	0.83	0.56	0.24	1.14	0.96
CM55	HNN	0.62	0.63	0.72	0.89	1.58	1.60	1.15	2.03	1.14	2.14
CM55	HNE	0.75	0.76	0.81	1.26	1.91	2.20	1.38	1.39	1.27	3.62
CMRC	HNZ	0.70	2.21	0.74	1.05	0.52	0.55	0.37	0.44	0.08	3.12
CMRC	HNN	1.57	1.59	1.62	2.04	3.17	11.56	2.19	1.02	1.50	11.56
CMRC	HNE	1.43	1.43	1.51	2.09	3.00	9.90	2.16	0.90	1.50	9.90
CMCU	HNZ	0.16	0.20	0.31	0.37	0.67	0.28	0.33	0.21	1.00	0.67
CMCU	HNN	0.36	0.39	0.73	0.75	1.23	0.95	0.62	0.72	1.00	1.23
CMCU	HNE	0.31	0.38	0.53	0.56	0.72	1.11	0.50	0.51	1.50	1.11
CMRA	HNZ	0.52	0.68	0.64	0.89	1.52	0.63	0.41	0.27	0.83	2.62
CMRA	HNN	1.50	1.67	1.60	1.80	2.32	3.69	4.48	3.02	2.39	5.92
CMRA	HNE	0.93	1.06	1.00	1.39	1.50	3.04	3.52	1.26	2.00	3.52
SCT2	HNZ	1.03	3.75	0.99	1.48	0.78	0.75	0.37	0.29	0.06	5.62
SCT2	HNN	1.25	2.16	1.34	1.68	2.20	6.15	2.84	0.85	1.50	6.15
SCT2	HNE	1.26	1.74	1.33	2.29	2.34	6.70	3.07	0.96	1.50	6.70
CMPM	HN3	0.18	0.18	0.19	0.28	0.35	0.37	0.39	0.31	1.14	0.44
CMPM	HN2	0.25	0.25	0.35	0.56	0.76	0.85	0.41	0.41	1.50	0.85

CMPM	HN1	0.23	0.24	0.38	0.34	0.75	0.85	0.55	0.48	1.50	0.85
CMPM	HNZ	1.21	1.72	0.42	0.49	0.37	0.45	0.38	0.34	0.05	5.62
CMPM	HNN	1.79	2.36	0.72	1.19	1.45	1.06	0.52	0.45	0.07	9.33
CMPM	HNE	1.38	3.28	0.64	0.92	1.26	1.03	0.62	0.50	0.07	6.94
CMP7	HNZ	0.37	0.41	0.57	0.94	1.21	0.60	0.28	0.24	0.83	1.94
CMP7	HNN	0.97	0.98	1.29	1.65	2.42	3.30	4.23	1.11	2.00	4.23
CMP7	HNE	0.83	0.83	1.13	1.86	2.49	2.68	2.53	1.38	1.74	3.56
CMJC	HNZ	0.62	0.79	0.71	1.22	1.56	0.76	0.47	0.16	0.75	3.08
CMJC	HNN	1.13	1.16	1.19	1.55	2.91	3.23	3.52	2.23	2.15	3.76
CMJC	HNE	1.10	1.15	1.28	1.96	3.33	2.88	2.66	2.49	0.93	4.30
CTCL	HNZ	0.36	0.49	0.65	1.32	0.67	1.05	0.43	0.22	0.61	1.43
CTCL	HNN	0.66	0.68	0.73	1.09	1.53	2.57	2.14	0.82	1.50	2.57
CTCL	HNE	0.52	0.54	0.79	1.07	1.32	2.07	1.77	1.02	1.50	2.07
CMPI	HNZ	1.15	2.82	0.70	0.60	0.66	1.35	0.67	0.36	0.07	6.25
CMPI	HNN	1.30	1.36	1.38	1.65	2.89	3.85	2.81	2.80	2.39	4.71
CMPI	HNE	1.13	1.21	1.07	1.09	2.68	3.97	3.73	2.79	1.27	4.14
TACY	HNZ	0.20	0.26	0.59	0.43	0.48	0.35	0.25	0.26	0.83	0.72
TACY	HNN	0.45	0.47	1.00	1.46	1.16	1.13	0.53	0.22	0.50	1.46
TACY	HNE	0.42	0.49	0.90	1.17	1.23	0.76	0.47	0.42	0.61	1.61
CMCT	HNZ	1.13	5.61	0.78	1.25	0.69	0.72	0.44	0.15	0.10	5.61
CMCT	HNN	1.19	1.25	1.53	2.30	2.70	3.53	2.81	0.69	1.27	4.14
CMCT	HNE	0.88	0.88	1.12	1.65	2.35	3.40	2.40	0.91	1.50	3.40
CMP3	HNZ	0.29	0.30	0.66	0.97	0.65	0.28	0.22	0.15	0.61	1.51
CMP3	HNN	0.78	0.82	1.08	1.75	1.74	2.32	2.69	0.66	1.74	3.68
CMP3	HNE	0.78	0.81	1.03	1.01	2.48	1.95	1.73	0.57	1.27	2.64
SCCB	HNZ	0.17	0.20	0.24	0.28	0.25	0.41	0.26	0.13	1.50	0.41
SCCB	HNN	0.26	0.42	0.49	0.93	0.43	0.38	0.58	0.20	0.50	0.93
SCCB	HNE	0.19	0.42	0.50	0.58	0.29	0.23	0.27	0.22	0.32	0.60
TEJU	HNZ	0.14	0.42	0.22	0.27	0.38	0.21	0.21	0.08	0.10	0.42
TEJU	HNN	0.22	0.35	0.33	0.36	0.30	0.25	0.38	0.13	0.15	0.45
TEJU	HNE	0.16	0.37	0.24	0.33	0.21	0.24	0.34	0.12	0.13	0.45
PET2	HNZ	0.06	0.07	0.10	0.18	0.19	0.14	0.07	0.03	0.61	0.23
PET2	HNN	0.09	0.10	0.11	0.16	0.27	0.11	0.08	0.06	0.83	0.34
PET2	HNE	0.06	0.11	0.08	0.17	0.16	0.08	0.05	0.03	0.50	0.17
TAJN	HNZ	0.09	0.32	0.18	0.23	0.10	0.11	0.09	0.02	0.07	0.45
TAJN	HNN	0.16	0.24	0.53	0.46	0.23	0.21	0.15	0.06	0.32	0.56
TAJN	HNE	0.17	0.32	0.46	0.47	0.22	0.16	0.14	0.08	0.07	0.62
ACAM	HNZ	0.04	0.06	0.05	0.07	0.11	0.12	0.16	0.09	1.74	0.17
ACAM	HNN	0.08	0.09	0.09	0.10	0.17	0.26	0.14	0.21	1.41	0.29
ACAM	HNE	0.11	0.11	0.12	0.18	0.21	0.34	0.18	0.19	1.41	0.45
CALE	HNZ	0.02	0.04	0.03	0.04	0.07	0.04	0.03	0.02	0.07	0.10
CALE	HNN	0.03	0.04	0.03	0.07	0.10	0.07	0.04	0.03	0.07	0.10
CALE	HNE	0.03	0.03	0.03	0.05	0.08	0.04	0.04	0.02	0.61	0.10
URUA	HNZ	0.05	0.07	0.07	0.09	0.13	0.10	0.10	0.02	0.68	0.17
URUA	HNN	0.11	0.20	0.13	0.28	0.29	0.33	0.23	0.07	1.74	0.38

URUA HNE 0.10 0.12 0.12 0.25 0.32 0.27 0.14 0.05 1.00 0.32

Las figuras 5 y 6 muestran los espectros de respuesta de la estación CUP5 y SCT2, respectivamente, con los espectros de diseño y de peligro uniforme de acuerdo con la norma vigente NTC-2017.

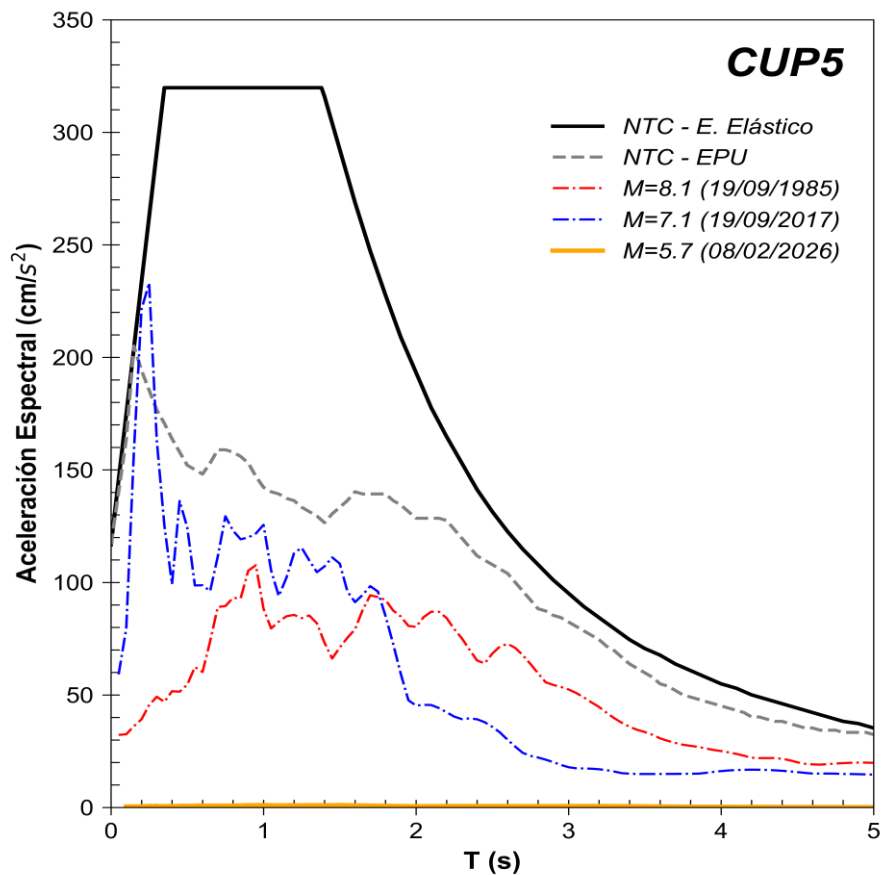


Figura 5. Comparación del espectro de respuesta (ER) del sismo registrado en la estación **CUP5** con el espectro elástico de diseño (EDS) y de peligro uniforme (EPU) obtenidos del SASID. La línea discontinua de color rojo y azul corresponden a los ER de los sismos del 19 septiembre de 1985 y 2017, respectivamente. Todos los ER graficados corresponden a la media cuadrática de sus componentes horizontales.

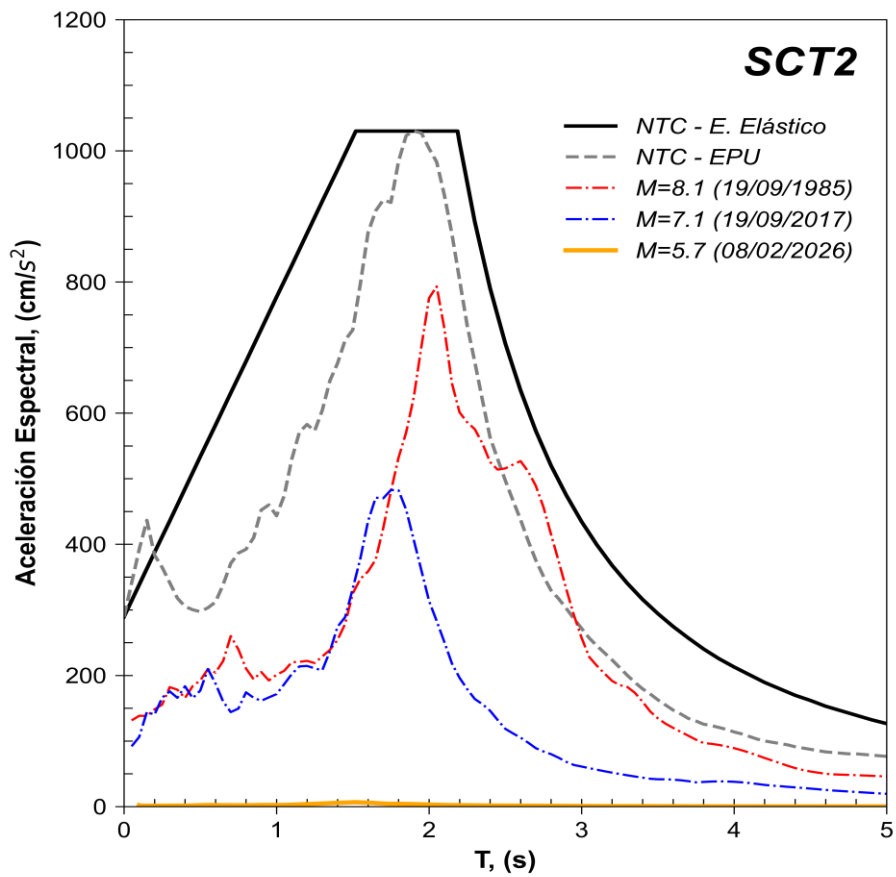


Figura 6. Comparación del espectro de respuesta (ER) del sismo registrado en la estación **SCT2** con el espectro elástico de diseño (EDS) y de peligro uniforme (EPU) obtenidos del SASID. La línea discontinua de color rojo y azul corresponden a los ER de los sismos del 19 septiembre de 1985 y 2017, respectivamente. Todos los ER graficados corresponden a la media cuadrática de sus componentes horizontales.

Referencias

- Arroyo, D., García, D., Ordaz, M., Mora M.A. y Singh S.K. (2010). Strong ground-motion relations for Mexican interplate earthquakes. *J. Seismol.* (2010) 14: 769. <https://doi.org/10.1007/s10950-010-9200-0>
- Kitanidis, P., (1986). Parameter uncertainty in estimation of spatial functions: Bayesian analysis. *Water Resources Research*, 22(4), 499-507.
- Ordaz, M., Reinoso, E., Jaimes, M. A., Alcántara, L., y Pérez, C. (2017). High-Resolution Early Earthquake Damage Assessment System for Mexico City Based on a Single-Station. *Geofis. Intl* [online]. 2017, vol.56, n.1, pp.117-135. ISSN 0016-7169. DOI: 10.19155/geofint.2017.056.1.9
- Servicio Sismológico Nacional, Instituto de Geofísica, Universidad Nacional Autónoma de México, México. (08 de febrero de 2026) <http://www.ssn.unam.mx>